

Herleitungen aus dem Skriptum Elektrodynamik

23. November 2010

Inhaltsverzeichnis

1	Poynting-Satz	1
2	Bilanzgleichungen für Energie und Impuls	2
3	Zweidimensionale Lösungen der Laplace-Gleichung in Polarkoordinaten	3
4	Leitungsgleichung für die verlustbehaftete Doppelleitung	4

1 Poynting-Satz

Ausgehend vom Poynting-Vektor $\vec{S} = \vec{E} \times \vec{H}$ berechnen wir die negative Divergenz von \vec{S} mit Hilfe des Nabla Kalküls und den Rechenregeln für das Spatprodukt:

$$\begin{aligned} -\vec{\nabla} \cdot \vec{S} &= -\vec{\nabla} \cdot (\vec{E} \times \vec{H}) = -\vec{\nabla} \cdot (\vec{E} \times \vec{H}) - \vec{\nabla} \cdot (\vec{E} \times \vec{H}) \\ &= -\vec{H} \cdot (\vec{\nabla} \times \vec{E}) + \vec{E} \cdot (\vec{\nabla} \times \vec{H}) \end{aligned}$$

Einsetzen des Induktionsgesetzes $\vec{\nabla} \times \vec{E} = -\partial_t \vec{B}$ und des Ampere-Maxwell Satzes $\vec{\nabla} \times \vec{H} = \vec{J} + \partial_t \vec{D}$ ergibt:

$$-\vec{\nabla} \cdot \vec{S} = \vec{H} \cdot \partial_t \vec{B} + \vec{E} \cdot (\vec{J} + \partial_t \vec{D})$$

Integrieren beider Seiten über das Volumen \mathcal{V} und einsetzen des Satz von Gauß ergibt den Poynting-Satz:

$$-\int_{\partial\mathcal{V}} \vec{n} \cdot \vec{S} \, dA = \int_{\mathcal{V}} (\vec{H} \cdot \partial_t \vec{B} + \vec{E} \cdot \partial_t \vec{D} + \vec{E} \cdot \vec{J}) \, dV$$

Interpretation:

- Die linke Seite beschreibt den Energiefluss in die Hülle $\partial\mathcal{V}$.
- Das Produkt $\vec{E} \cdot \vec{J}$ beschreibt die Wechselwirkung mit anderen Energieformen über Ströme, z.B. Joule-Verluste.

- Die 2 restlichen Terme kann man bei näherer Betrachtung als die zeitliche Ableitung des Energieinhaltes identifizieren (für raumfeste Flächen darf die Zeitableitung unter das Integral gezogen werden):

$$\partial_t \int_{\mathcal{V}} w^e dV = \partial_t \int_{\mathcal{V}} \left(\frac{1}{2\mu_0} \vec{B}^2 + \frac{\varepsilon}{2} \vec{E}^2 \right) dV = \int_{\mathcal{V}} (\vec{H} \cdot \partial_t \vec{B} + \vec{E} \cdot \partial_t \vec{D}) dV$$

Zusammenfassung:

Der gesamte Energiefluss durch die Hülle $\partial\mathcal{V}$ wird im Elektromagnetischen Feld gespeichert oder über Ströme in andere Energieformen umgewandelt.¹

2 Bilanzgleichungen für Energie und Impuls

Wir gehen von den globalen Bilanzgleichungen für Energie und Impuls² aus:

$$\begin{aligned} \dot{W}(\mathcal{V}) + Q(\partial\mathcal{V}) &= R(\mathcal{V}) \\ \dot{\vec{G}}(\mathcal{V}) + \vec{P}(\partial\mathcal{V}) &= \vec{F}(\mathcal{V}) \end{aligned}$$

Nun werden die Größen als lokale Dichten dargestellt.

$$\begin{aligned} W(\mathcal{V}) &= \int_{\mathcal{V}} w dV, & Q(\mathcal{A}) &= \int_{\mathcal{A}} \vec{n} \cdot \vec{q} dA, & R(\mathcal{V}) &= \int_{\mathcal{V}'} r dV + \int_{\mathcal{S}'} r^s dA \\ \vec{G}(\mathcal{V}) &= \int_{\mathcal{V}} \vec{g} dV, & \vec{P}(\mathcal{A}) &= \int_{\mathcal{A}} \vec{n} \cdot \underline{p} dA, & \vec{F}(\mathcal{V}) &= \int_{\mathcal{V}'} \vec{f} dV + \int_{\mathcal{S}'} \vec{f}^s dA \end{aligned}$$

Da wir nun allg. von bewegten Körpern und Flächen ausgehen, kann die Zeitableitung nicht einfach unter das Integral gezogen werden. Für die mitgeschleppte Zeitableitung schreiben wir für Vektorfelder³ bzw. Skalarfelder⁴

$$\begin{aligned} \partial_t^c \vec{F} &= \partial_t \vec{F} + \vec{v} \vec{\nabla} \cdot \vec{F} + \vec{\nabla} \times (\vec{F} \times \vec{v}) \\ \partial_t^c f &= \partial_t f + \vec{\nabla} \cdot (f \vec{v}) \end{aligned}$$

Einsetzen in die Bilanzgleichung für die Energie, Einsetzen des Satzes von Gauß und der Beziehung für ∂_t^c :

$$\underbrace{\partial_t \int_{\mathcal{V}} W dV}_{\int_{\mathcal{V}} \partial_t^c W dV} + \underbrace{\int_{\partial\mathcal{V}} \vec{n} \cdot \vec{q} dA}_{\int_{\mathcal{V}'} \vec{\nabla} \cdot \vec{q} dV + \int_{\mathcal{S}'} \vec{n} \cdot \vec{q} dA} = \int_{\mathcal{V}'} r dV + \int_{\mathcal{S}'} r^s dA$$

$$\int_{\mathcal{V}} \partial_t^c W dV = \int_{\mathcal{V}} (\partial_t w + \vec{\nabla} \cdot (w \vec{v})) dV = \int_{\mathcal{V}} \partial_t w dV + \underbrace{\int_{\partial\mathcal{V}} \vec{n} \cdot (w \vec{v}) dA}_0 - \underbrace{\int_{\mathcal{S}} \vec{n} \cdot \llbracket w \vec{v} \rrbracket dA}_{-v_n[w]}$$

¹Vgl. ET2 Kapitel 28

²Edyn Skript S. 47

³Edyn Skript S. 39

⁴A. Prechtl: Ein Beitrag zur Behandlung von Flächengrößen und Sprungbedingungen der nichtrelativistischen Elektrodynamik bewegter Körper (1978)

<http://www.springerlink.com/content/11rp2u7162t227p1/fulltext.pdf>

Der Term $\int_{\partial\mathcal{V}} \vec{n} \cdot (w\vec{v}) \, dA$ fällt vermutlich weg, da am Rand des Volumens keine Energie gespeichert wird.

Um die Gleichung zu erfüllen, müssen die Integranden jeweils gleich sein:

$$\begin{aligned}\partial_t w + \vec{\nabla} \cdot \vec{q} &= r \\ -v_n \llbracket w \rrbracket + \vec{n} \cdot \llbracket \vec{q} \rrbracket &= r^s\end{aligned}$$

Ähnliche Vorgehensweise für die Bilanzgleichung für den Impuls, hier wird u.a. die Green-Transformation⁵ und die Grassmann-Identität benötigt:

$$\begin{aligned}\underbrace{\partial_t \int_{\mathcal{V}} \vec{g} \, dV}_{\int_{\mathcal{V}} \partial_t^c \vec{g} \, dV} + \underbrace{\int_{\partial\mathcal{V}} \vec{n} \cdot \underline{p} \, dA}_{\int_{\mathcal{V}'} \vec{\nabla} \cdot \underline{p} \, dV + \int_{\mathcal{S}'} \vec{n} \cdot \llbracket \underline{p} \rrbracket \, dA} &= \int_{\mathcal{V}'} \vec{f} \, dV + \int_{\mathcal{S}'} \vec{f}^s \, dA \\ \int_{\mathcal{V}} \partial_t^c \vec{g} \, dV &= \int_{\mathcal{V}} (\partial_t \vec{g} + \vec{v} \vec{\nabla} \cdot \vec{g} + \underbrace{\vec{\nabla} \times (\vec{g} \times \vec{v})}_{\vec{\nabla} \times (\vec{g} \times \vec{v}) + \vec{\nabla} \times (\vec{g} \times \vec{v}) = \vec{\nabla} \times (\vec{g} \times \vec{v})}) \, dV \\ &= \int_{\mathcal{V}} (\partial_t \vec{g} + \vec{v} \vec{\nabla} \cdot \vec{g} + \underbrace{\vec{g}(\vec{\nabla} \cdot \vec{v}) - \vec{v}(\vec{\nabla} \cdot \vec{g})}_{\vec{v} \cdot \vec{\nabla} \vec{g}}) \, dV \\ &= \int_{\mathcal{V}} \partial_t \vec{g} \, dV + \int_{\partial\mathcal{V}} \underbrace{\vec{v} \cdot (\vec{n} \vec{g})}_0 \, dA - \int_{\mathcal{S}} \underbrace{\vec{v} \cdot \vec{n} \llbracket \vec{g} \rrbracket}_{-v_n \llbracket \vec{g} \rrbracket} \, dA\end{aligned}$$

Die lokalen Bilanzgleichungen für den Impuls lauten somit:

$$\begin{aligned}\partial_t \vec{g} + \vec{\nabla} \cdot \underline{p} &= \vec{f} \\ -v_n \llbracket \vec{g} \rrbracket + \vec{n} \cdot \llbracket \underline{p} \rrbracket &= \vec{f}^s\end{aligned}$$

■

3 Zweidimensionale Lösungen der Laplace-Gleichung in Polarkoordinaten

Lösen der Differentialgleichung⁶

$$\varrho^2 R''(\varrho) + \varrho R'(\varrho) - k^2 R(\varrho) = 0$$

erfordert eine Unterscheidung von $k = 0$ und $k \neq 0$.

Für die Lösung der Euler-DG für $k \neq 0$ kann folgender Ansatz gewählt werden:

$$\begin{aligned}R(\varrho) &\sim \varrho^\lambda \\ R'(\varrho) &= \lambda \varrho^{\lambda-1} \\ R''(\varrho) &= \lambda(\lambda-1) \varrho^{\lambda-2}\end{aligned}$$

⁵Edyn Skript S21

⁶Edyn-Skriptum S 73, 3.53

Einsetzen liefert für k und somit für $R(\varrho)$

$$\begin{aligned}\lambda(\lambda - 1)\varrho^\lambda + \lambda\varrho^\lambda - k^2\varrho^\lambda &= 0 \\ \lambda^2 - \lambda + \lambda &= k^2 \Rightarrow \lambda = \pm k \\ R(\varrho) &= A_1\varrho^k + A_2\varrho^{-k}\end{aligned}$$

Für $k = 0$ muss gelten: $\frac{\varrho}{R} [\varrho R']' = 0$. Zweimalige Integration liefert für $R(\varrho)$

$$\begin{aligned}\varrho R' &= k \Rightarrow R'(\varrho) = \frac{k}{\varrho} \\ R(\varrho) &= \ln(\varrho)k + C\end{aligned}$$

Da das Argument vom \ln immer einheitenfrei sein muss, wird die Konstante in das Argument vom \ln gezogen und ist frei wählbar.

$$R(\varrho) = \ln\left(\frac{\varrho}{a}\right) + A_1$$

■

4 Leitungsgleichung für die verlustbehaftete Doppelleitung

Als Voraussetzung für die Leitungsgleichungen nehmen wir TEM-Wellen an, dadurch können Strom und Spannung in jedem Punkt auf der Leitung ausgedrückt werden.

Als erste Näherung werden Strom und Spannung nach einem differenziell kleinem Leitungsstück mit der Länge dz durch eine Taylorreihe approximiert, wobei nach dem linearen Term abgebrochen wird:

$$\begin{aligned}U(z + dz) &= U(z) + \partial_z U(z) dz + O(dz^2) \\ I(z + dz) &= I(z) + \partial_z I(z) dz + O(dz^2)\end{aligned}$$

Nun stellen wir die Maschengleichung mit Bezeichnung nach Abb. 1 auf:

$$U = R' dz(I + \partial_z I dz) + C' dz \partial_t (I + \partial_z I dz) + U + \partial_z U dz$$

Analog dazu die Knotengleichung:

$$I = G' dz U + C' dz \partial_t U + I + \partial_z I dz$$

Streichen der quadratischen Terme dz^2 (lineare Approximation) sowie Kürzen von U , I , und dz liefert die beiden Leitungsgleichungen:

$$\begin{aligned}\partial_z U + L' \partial_t I + R' I &= 0 \\ \partial_z I + C' \partial_t U + G' U &= 0\end{aligned}$$

■

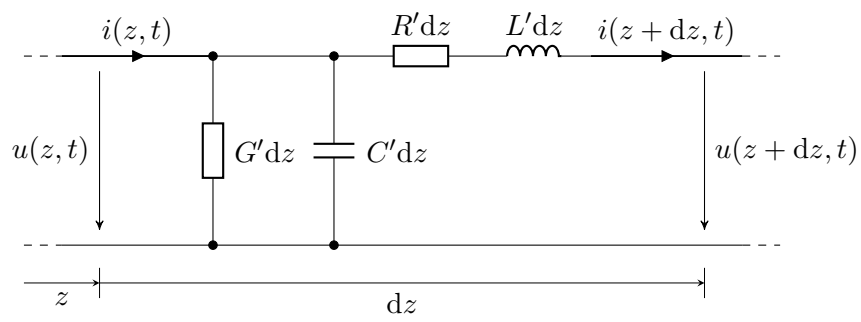


Abbildung 1: Modell für die Leitungsgleichungen